

Famílias infinitas de grafos \mathbf{Q} -equienergéticosJoão B. Carvalho¹

Instituto de Matemática, UFRGS, Porto Alegre, RS

Vilmar Trevisan²

Instituto de Matemática, UFRGS, Porto Alegre, RS

Cybele T. M. Vinagre³

Instituto de Matemática e Estatística, UFF, Niterói, RJ

Resumo. A \mathbf{Q} -energia de um grafo G com n vértices e m arestas é definida por $LE^+(G) = \sum_{i=1}^n \left| q_i - \frac{2m}{n} \right|$, onde $q_1 \geq \dots \geq q_n$ são os autovalores da matriz laplaciana sem sinal \mathbf{Q} de G . Nesta nota, construímos duas famílias infinitas de pares de grafos *threshold* com o mesmo número de vértices, a mesma \mathbf{Q} -energia e diferentes espectros com respeito à matriz \mathbf{Q} .

Palavras-chave. Matriz laplaciana sem sinal, Energia, Grafo *threshold*.

1 Introdução

Dado um grafo simples G com vértices v_1, \dots, v_n e m arestas, considere sua *matriz de adjacência* $\mathbf{A} = [a_{ij}]$, ou seja, a matriz de ordem $n \times n$ onde $a_{ij} = 1$ ou 0 , caso haja ou não aresta entre os vértices v_i e v_j . A relação $\mathbf{Q} = \mathbf{A} + \mathbf{D}$, onde \mathbf{D} é a matriz diagonal cujos elementos não nulos são os graus dos vértices de G , define \mathbf{Q} , que é chamada *matriz laplaciana sem sinal* de G . A matriz \mathbf{Q} é semidefinida positiva e portanto, seus autovalores são não negativos. O *espectro laplaciano sem sinal* do grafo G é o multiconjunto formado pelos autovalores da matriz \mathbf{Q} , que são aqui denotados em ordem não decrescente por $q_1 \geq q_2 \geq \dots \geq q_n$.

Em Teoria Espectral de Grafos, estuda-se o espectro de matrizes associadas a um grafo para investigar algumas de suas propriedades estruturais, tais como conectividade, número de triângulos, etc - sugerimos [2] para os fundamentos da área e [3] para um estudo específico de propriedades da matriz \mathbf{Q} . Um parâmetro espectral relacionado com a matriz \mathbf{Q} é a *energia laplaciana sem sinal* (ou *\mathbf{Q} -energia*) do grafo G , definida por

$$LE^+(G) = \sum_{i=1}^n \left| q_i - \frac{2m}{n} \right|.$$

Uma vertente da investigação sobre este parâmetro e que trataremos nesta nota, é a determinação de grafos que têm a mesma \mathbf{Q} -energia. Notamos que, se dois grafos são

¹carvalho@mat.ufrgs.br²trevisan@mat.ufrgs.br³cybl@vm.uff.br

coespectrais em relação à matriz \mathbf{Q} , ou seja, têm o mesmo \mathbf{Q} -espectro, a \mathbf{Q} -energia é a mesma. Portanto, o problema relevante é determinar grafos que, mesmo com \mathbf{Q} -espectros diferentes, tenham a mesma \mathbf{Q} -energia. Dizemos que dois grafos G_1 e G_2 com n vértices e não coespectrais são \mathbf{Q} -*equienergéticos* quando $LE^+(G_1) = LE^+(G_2)$.

Neste artigo, exibimos famílias de pares de grafos \mathbf{Q} -equienergéticos. Especificamente, investigamos grafos *threshold* (ver definição abaixo) e construímos duas famílias infinitas de pares de grafos *threshold* \mathbf{Q} -equienergéticos.

Existe uma abundância de artigos na literatura que tratam da busca de grafos equienergéticos, com relação às matrizes de adjacência, laplaciana, e outras, veja-se, por exemplo, [8], [5] e as referências ali contidas. Mais recentemente, alguns artigos surgiram abordando a \mathbf{Q} -energia, geralmente fornecendo cotas para este parâmetro. Em [7], pares de grafos \mathbf{Q} -equienergéticos com mesmo número de arestas são construídos por meio de certas operações em grafos e este parece ser o único artigo nesta linha. Como explicamos mais adiante, nossas construções não estão contempladas neste artigo.

Em se tratando de grafos *threshold* \mathbf{Q} -equienergéticos, a investigação é ainda mais relevante, pelos motivos que relatamos a seguir. Por um lado, os grafos *threshold* parecem ter grande energia laplaciana sem sinal. De fato, em [6] conjectura-se que o grafo de n vértices com maior \mathbf{Q} -energia seja um grafo *threshold*, mais especificamente o grafo com uma clique de $\lceil \frac{n-1}{3} \rceil$ vértices e $\lceil \frac{2n-1}{3} \rceil$ vértices que são adjacentes a cada um dos vértices da clique. A figura abaixo mostra o candidato a grafo com \mathbf{Q} -energia máxima para $n = 9$.

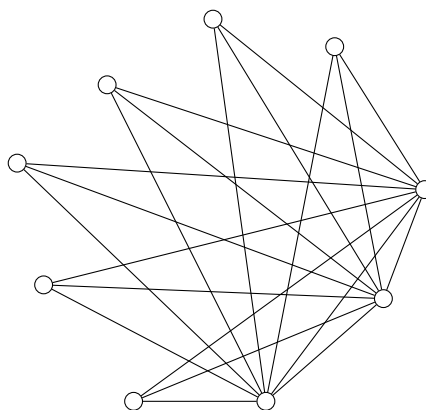


Figura 1: O grafo *threshold* com 9 vértices e \mathbf{Q} -energia máxima.

Por outro lado existe uma abundância de grafos *threshold* que são coespectrais. De fato, em um artigo recente, [1], o seguinte surpreendente resultado foi obtido: do total de 2^{n-1} grafos *threshold* com n vértices, existem 2^{n-4} pares \mathbf{Q} -coespectrais. Assim, parece ser o caso que famílias infinitas de grafos *threshold* com n vértices \mathbf{Q} -equienergéticos são raras. Entendemos, portanto, que esse estudo seja relevante.

2 Preliminares sobre grafos *threshold*

Há várias maneiras equivalentes de se definir um grafo *threshold*. Nestas notas utilizaremos aquela dada por uma sequência binária.

Definição 2.1. *Dada uma sequência finita com n elementos (a_i) onde $a_i = 0$ ou 1 , o grafo *threshold* associado a (a_i) é o grafo com n vértices construído recursivamente, iniciando-se com um grafo vazio (sem vértices e sem arestas) e adicionando-se um vértice isolado rotulado por i , se $a_i = 0$, ou um vértice rotulado i adjacente a todos os vértices com rótulo menor do que i , se $a_i = 1$.*

Notamos que, pela definição, a sequência de graus de um grafo *threshold* pode ser obtida da sua sequência binária (a_i) : de fato, o vértice i tal que $a_i = 1$ é adjacente a todos os vértices j tais que $j < i$ e a todos os vértices k tais que $k > i$ e $a_k = 1$; por outro lado, se $a_i = 0$, então o vértice i é adjacente somente aos vértices k tais que $k > i$ e $a_k = 1$. Portanto, se o grafo tem n vértices, o grau d_i do vértice i é dado por $d_i = (i - 1)a_i + \sum_{j=i+1}^n a_j$ e podemos assim encontrar o grau médio $d = \frac{2m}{n}$ do grafo a partir de sua sequência binária.

Por exemplo, o grafo da Figura 1 tem sequência binária 0000001111, e portanto, $d_1 = d_2 = \dots = d_6 = 3$ e $d_7 = d_8 = d_9 = 8$. Escreveremos 0000001111 na forma $0^6 1^3$. De modo geral, se (q_j) é a sequência de quantidades de elementos de cada bloco de 0's e 1's, a sequência (a_i) será descrita na forma compacta $(b_i^{q_i})$, onde $b_i = 0$ ou 1 .

Para determinar a \mathbf{Q} -energia de um grafo *threshold* precisamos determinar o seu espectro laplaciano sem sinal. Para este fim, em nossas construções, utilizamos o algoritmo de decomposição de grafos desenvolvido em [4], que, no caso dos grafos *threshold*, permite obter o espectro laplaciano sem sinal a partir da sequência binária na forma $(b_i^{q_i})$.

Exemplo 2.1 Se $a, b, c \geq 0$ são inteiros, para o grafo *threshold* com sequência binária da forma

$$0^a 1^b 0^c$$

que tem $n = a + b + c$ vértices, a aplicação do algoritmo de [4] fornece seu espectro laplaciano sem sinal, que é dado pela união do conjunto

$$\sigma(G) = \{b^{(a-1)}, (b + a - 2)^{(b-1)}, 0^{(c)}\},$$

onde os expoentes indicam as multiplicidades, com o espectro $\{\lambda_1, \lambda_2\}$ da matriz

$$\begin{bmatrix} b & \sqrt{ab} \\ \sqrt{ab} & 2b + a - 2 \end{bmatrix},$$

sendo $\lambda_1 = \frac{\sqrt{b^2 + (6a-4)b + (a-2)^2} + (3b+a-2)}{2}$ e $\lambda_2 = \frac{-\sqrt{b^2 + (6a-4)b + (a-2)^2} + (3b+a-2)}{2}$. Para este grafo, o grau médio é dado por

$$d = d(a, b, c) = \frac{ab + b(a + b - 1)}{a + b + c}.$$

Portanto, pela definição, a \mathbf{Q} -energia deste grafo é dada por

$$LE^+(G) = |d - \lambda_1(a, b, c)| + |d - \lambda_2(a, b, c)| + (b - 1) |d - (b + a - 2)| + (a - 1) |d - b| + cd.$$

3 Famílias infinitas de pares de grafos \mathbf{Q} -equienergéticos

Claramente, a determinação da \mathbf{Q} -energia de um grafo depende da comparação entre os autovalores da sua matriz \mathbf{Q} em relação ao grau médio. Antes de exibir a construção da primeira família infinita de pares de grafos *threshold* \mathbf{Q} -equienergéticos, fazemos uma observação de caráter mais geral sobre os grafos apresentados no Exemplo 2.1.

Observação 3.1. Chamemos $G = G(a, b, c)$ ao grafo *threshold* com sequência binária $0^a 1^b 0^c$, onde $a \geq 3, b, c \geq 0$ são inteiros. Com as notações do Exemplo 2.1, suponhamos que valham as relações $b + a - 2 \geq d(a, b, c)$ e $d(a, b, c) \geq b$ entre o grau médio e os autovalores $b + a - 2$ e b de G . Então

$$\begin{aligned} d(a, b, c) &\leq \sqrt{(b + (a - 2))^2} = \sqrt{b^2 + 2b(a - 2) + (a - 2)^2} \\ &\leq \sqrt{(b^2 + 2b(a - 2) + (a - 2)^2) + 4ab} = \sqrt{(b^2 + (6a - 4)b + (a - 2)^2)}. \end{aligned}$$

E como $d(a, b, c) \leq 3b + a - 2$, segue que

$$2d(a, b, c) \leq \sqrt{(b^2 + (6a - 4)b + (a - 2)^2)} + (3b + a - 2),$$

garantindo que $d(a, b, c) \leq \lambda_1(a, b, c)$. Além disso, também vale $\lambda_2(a, b, c) \leq d(a, b, c)$. De fato: temos que $2b < 2d(a, b, c)$ e além disso,

$$(b + a - 2) \leq \sqrt{(b^2 + 2b(a - 2) + (a - 2)^2) + 4ab} = \sqrt{(b^2 + (6a - 4)b + (a - 2)^2)}.$$

Daí $3b + a - 2 = 2b + (b + a - 2) \leq 2d(a, b, c) + \sqrt{(b^2 + (6a - 4)b + (a - 2)^2)}$, garantindo

$$-\sqrt{(b^2 + (6a - 4)b + (a - 2)^2)} + (3b + a - 2) \leq 2d(a, b, c),$$

como queríamos.

Notamos que pelas hipóteses e cálculos acima, a expressão para a \mathbf{Q} -energia de G em função de a, b, c torna-se

$$LE^+(G) = (\lambda_1(a, b, c) - d) + (d - \lambda_2(a, b, c)) + (b - 1)((b + a - 2) - d) + (a - 1)(d - b) + cd.$$

Experimentos computacionais nos levaram a investigar pares de grafos *threshold* com sequências binárias das formas $0^a 1^b 0^c$ e $0^b 1^a 0^c$. Considerando os fatos registrados na Observação 3.1, exibimos em nosso primeiro resultado uma família infinita de ternos (a, b, c) e (b, c, a) de inteiros definidos a dois parâmetros, que determinam grafos *threshold* \mathbf{Q} -equienergéticos.

Teorema 3.1. Sejam p, i inteiros tais que: $p, i \geq 2$ e $p > i$. Ponhamos $a = a(p, i) = (1 + p) + p(p + 1)(i - 1)$, $b = b(p, i) = 1 + (p + 1)(i - 1)$ e $c = c(p, i) = 1 + p(i - 1)$. Então são \mathbf{Q} -equienergéticos os grafos *threshold* $G_1 = G_1(p, i)$ e $G_2 = G_2(p, i)$ com sequências binárias dadas, respectivamente, por

$$0^a 1^b 0^c \quad \text{e} \quad 0^b 1^a 0^c.$$

Prova: Fixemos os inteiros p, i com $i \geq 2, p > i$ e sejam a, b, c como no enunciado. Pelo visto no Exemplo 2.1, como $a(p, i) \neq b(p, i)$, o par $G_1(p, i)$ e $G_2(p, i)$ é formado por grafos não coespectrais. Além disso, em ambos os grafos, $b + a - 2$ é um autovalor. Temos então que vale: para $G_1, a \geq 3$ e

$$\begin{aligned}
 b + a - 2 - d(a, b, c) &= \frac{(i - 1)^2 p^4 + (i - 1)(3i - 1)p^3 + i(3i - 2)p^2 + (i^2 - i + 1)p - 2}{(i - 1)p^2 + (3i - 2)p + i + 2} \\
 &\geq \frac{p^4 + 2p^3 + p^2 + p - 2}{(i - 1)p^2 + (3i - 2)p + i + 2} > 0, \quad \text{e para } G_2, \\
 b + a - 2 - d(b, a, c) &= \frac{(i - 1)^2 p^3 + (i - 1)(3i - 2)p^2 + (i - 1)(3i - 2)p + i(i - 1) - 2}{(i - 1)p^2 + (3i - 2)p + i + 2} \\
 &\geq \frac{p^3 + p^2 + p}{(i - 1)p^2 + (3i - 2)p + i + 2} > 0.
 \end{aligned}$$

Para o grafo G_1 , temos ainda que b é um autovalor e vale

$$d(a, b, c) - b = \frac{(i - 1)^2 p^3 + (i^2 - 1)p^2 + p - i}{(i - 1)p^2 + (3i - 2)p + i + 2} > 0 \quad \text{pois } p > i.$$

Por outro lado, notemos que $G_2 = G(b, a, c)$ na Observação 3.1; para este grafo, temos que $b \geq 3, a$ é um autovalor e vale

$$d(b, a, c) - a = \frac{(i - 2)(i - 1)p^2 + i(i - 2)p + i - 2}{(i - 1)p^2 + (3i - 2)p + i + 2} \geq 0, \quad \text{pois } i \geq 2.$$

Portanto, considerando o acima provado, basta trocar as posições de a e b nas conclusões da Observação 3.1 para obter $\lambda_2(b, a, c) \leq d(b, a, c) \leq \lambda_1(b, a, c)$. Segue que $LE^+(G_2)$ é obtida como na Observação 3.1, apenas trocando-se as posições dos parâmetros a e b . Finalmente, expressando ambas as energias em função de p e i , após simplificações obtemos:

$$LE^+(G_1) = LE^+(G_2) = \frac{2(p + 1)(ip - p + 1)^2(ip^2 - p^2 + p - i + 1)}{(i - 1)p^2 + (3i - 2)p + i + 2}$$

■

O teorema a seguir apresenta uma outra família infinita de pares de grafos *threshold* \mathbf{Q} -equienergéticos. A prova também aplica o algoritmo desenvolvido em [4].

Teorema 3.2. Para todo inteiro $c \geq 2$, são \mathbf{Q} -equienergéticos os grafos *threshold* G_1 e G_2 com sequências binárias dadas respectivamente por

$$1^{(2c+1)}0^{(c+1)} \quad \text{e} \quad 1^{(2c+2)}0^c$$

Prova: Para um inteiro $c \geq 2$ fixado, os grafos G_1 e G_2 têm \mathbf{Q} -espectros respectivamente iguais a $\sigma(G_1) = \{4c, (2c - 1)^{2c}, 0^{c+1}\}$ e $\sigma(G_2) = \{4c + 2, (2c)^{2c+1}, 0^c\}$, sendo, portanto, não coespectrais. Os respectivos graus médios são $d_1 = \frac{(2c+1)(2c)}{3c+2}$ e $d_2 = \frac{(2c+2)(2c+1)}{3c+2}$. É fácil verificar que $4c \geq d_1$ e que $2c - 1 \geq d_1$, para G_1 , e que, para G_2 , temos $4c + 2 \geq d_2$ e $2c \geq d_2$. Calculando as expressões das \mathbf{Q} -energias pela definição obtemos $LE^+(G_1) = LE^+(G_2) = \frac{8c^3 + 12c^2 + 4c}{3c+2}$. ■

Observação 3.2. *Os grafos G_1 e G_2 do Teorema 3.1 possuem o mesmo número de arestas se e somente se $a = b$ ou $a = b - 1$, e estas condições não ocorrem para os parâmetros a e b do enunciado. Também verifica-se que não existe inteiro $c \geq 2$ tais que os pares G_1 e G_2 do Teorema 3.2 tenham o mesmo número de arestas. Portanto, as construções apresentadas em [7] não incluem as famílias descritas nos Teoremas 3.1 e 3.2.*

4 Conclusões

Construímos duas famílias infinitas de pares de grafos *threshold* de mesma ordem, com mesma \mathbf{Q} -energia e com diferentes \mathbf{Q} -espectros.

Referências

- [1] J. Carvalho, B. S. Souza, V. Trevisan and F. C. Tura. Exponentially many graphs have a \mathbf{Q} -cospectral mate, 2016, to appear.
- [2] D. Cvetković, M. Doob, and H. Sachs. *Spectra of Graphs*. Johann Ambrosius Barth, Leipzig, 3^a edition, 1995.
- [3] D. Cvetković and S. K. Simić. Towards a spectral theory of graphs based on the signless Laplacian, II. *Linear Algebra and its Applications*, 432(9):2257 – 2272, 2010.
- [4] E. Fritscher and V. Trevisan. Exploring symmetries to decompose matrices and graphs preserving the spectrum. *SIAM. J. Matrix Anal. & Appl.*, 37(1):260 – 289, 2016.
- [5] I. Gutman A. Ilić, M. Bašić. Triply equienergetic graphs. *MATCH Commun. Math. Comput. Chem.*, 64:189–200, 2010.
- [6] L. K. Pinheiro and V. Trevisan. Maximality of the signless Laplacian energy, 2016, to appear.
- [7] S. Pirzada and H. A. Ganie. On the construction of \mathbf{L} -equienergetic graphs. *AKCE International Journal of Graphs and Combinatorics*, 12(2-3):141 – 154, 2015.
- [8] D. Stevanović. Large sets of noncospectral graphs with equal Laplacian energy. *MATCH Commun. Math. Comput. Chem.*, 61:463 – 470, 2009.